

## TP2

# SIMULATION D'UN ROBOT RR ORTHOGONAL avec flexibilités

M. GUSKOV, N. MECHBAL, M. REBILLAT

L'objet du présent TP est de simuler le comportement d'un bras robotisé à deux degrés de liberté (Fig. 1), en prenant en compte les flexibilités au niveau des articulations. On analysera dans chaque partie l'impact des coefficients  $k_i$ ,  $J_i$ ,  $f_{vi}$ ,  $f_{ci}$ , ainsi que de la configuration ou des conditions initiales sur la réponse du système

## 1 Simulation dynamique directe en rigide

Equation de mouvement articulaire

$$\mathbf{M}(\mathbf{q})\ddot{\mathbf{q}} + \mathbf{C}(\mathbf{q}, \dot{\mathbf{q}})\dot{\mathbf{q}} + \mathbf{g}(\mathbf{q}) = \boldsymbol{\tau} + \boldsymbol{\tau}_f + \boldsymbol{\tau}_{\text{ext}} \quad (1)$$

Reformulation en système d'état :

$$\mathbf{y} = \begin{pmatrix} \mathbf{q} \\ \dot{\mathbf{q}} \end{pmatrix}, \quad \dot{\mathbf{y}} = \phi(t, \mathbf{y}) = \begin{pmatrix} \dot{\mathbf{q}} \\ -\mathbf{M}^{-1}(\mathbf{C}\dot{\mathbf{q}} + \mathbf{g} - \boldsymbol{\tau} - \boldsymbol{\tau}_f - \boldsymbol{\tau}_{\text{ext}}) \end{pmatrix} \quad (2)$$

## 2 Prise en compte des flexibilités

Equations de mouvement du système augmenté

$$\begin{cases} \mathbf{M}(\mathbf{q})\ddot{\mathbf{q}} + \mathbf{S}(\mathbf{q})\ddot{\mathbf{p}} + \mathbf{C}(\mathbf{q}, \dot{\mathbf{q}})\dot{\mathbf{q}} + \mathbf{c}_1(\mathbf{q}, \dot{\mathbf{q}}, \dot{\mathbf{p}}) + \mathbf{g}(\mathbf{q}) + \mathbf{K}(\mathbf{q} - \mathbf{p}) = \boldsymbol{\tau}_{fl} + \boldsymbol{\tau}_{\text{ext}} \\ \mathbf{S}^T(\mathbf{q})\ddot{\mathbf{q}} + \mathbf{J}_m(\mathbf{q})\ddot{\mathbf{p}} + \mathbf{c}_2(\mathbf{q}, \dot{\mathbf{q}}, \dot{\mathbf{p}}) - \mathbf{K}(\mathbf{q} - \mathbf{p}) = \boldsymbol{\tau} + \boldsymbol{\tau}_{fm} \end{cases} \quad (3)$$

Réécriture compacte

$$\hat{\mathbf{M}}(\hat{\mathbf{q}})\ddot{\hat{\mathbf{q}}} + \hat{\mathbf{C}}(\hat{\mathbf{q}}, \dot{\hat{\mathbf{q}}})\dot{\hat{\mathbf{q}}} + \hat{\mathbf{K}}\hat{\mathbf{q}} + \hat{\mathbf{g}}(\hat{\mathbf{q}}) = \hat{\boldsymbol{\tau}} + \hat{\boldsymbol{\tau}}_f + \hat{\boldsymbol{\tau}}_{\text{ext}} \quad (4)$$

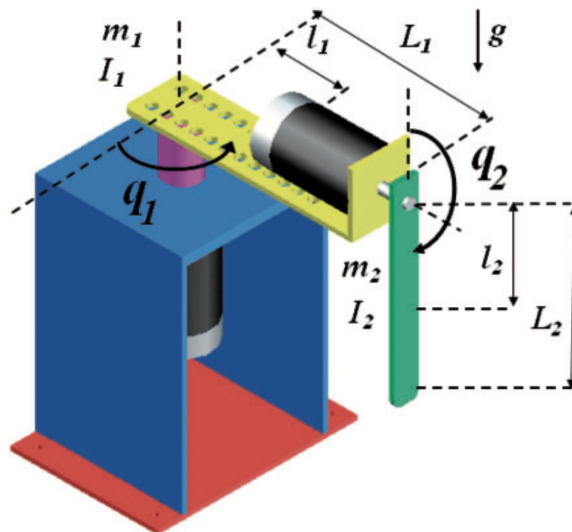


FIGURE 1 – Robot RR orthogonal

avec

$$\hat{\mathbf{q}} = \begin{pmatrix} \mathbf{q} \\ \mathbf{p} \end{pmatrix}, \quad \hat{\mathbf{M}} = \begin{bmatrix} \mathbf{M} & \mathbf{S} \\ \mathbf{S}^T & \mathbf{J}_m \end{bmatrix}, \quad \hat{\mathbf{C}} = \begin{bmatrix} \mathbf{C} & \mathbf{c}_1 \\ \mathbf{c}_2 & \mathbf{0} \end{bmatrix}, \quad \hat{\mathbf{g}} = \begin{pmatrix} \mathbf{g} \\ \mathbf{0} \end{pmatrix}, \quad \hat{\boldsymbol{\tau}}_f = \begin{pmatrix} \boldsymbol{\tau}_{fl} \\ \boldsymbol{\tau}_{fm} \end{pmatrix}, \quad \hat{\boldsymbol{\tau}}_{\text{ext}} = \begin{pmatrix} \boldsymbol{\tau}_{\text{ext}} \\ \mathbf{0} \end{pmatrix}, \quad \hat{\boldsymbol{\tau}} = \begin{pmatrix} \mathbf{0} \\ \boldsymbol{\tau} \end{pmatrix}. \quad (5)$$

Simplifications standard :  $\mathbf{S} \approx \mathbf{0}$ ,  $\mathbf{c}_1 \approx \mathbf{0}$ ,  $\mathbf{c}_2 \approx \mathbf{0}$ , matrices  $\mathbf{K}$  et  $\mathbf{J}_m$  diagonales.

Reformulation en système d'état :

$$\hat{\mathbf{y}} = \begin{pmatrix} \hat{\mathbf{q}} \\ \dot{\hat{\mathbf{q}}} \end{pmatrix}, \quad \dot{\hat{\mathbf{y}}} = \hat{\boldsymbol{\phi}}(t, \hat{\mathbf{y}}) = \begin{pmatrix} \dot{\hat{\mathbf{q}}} \\ -\hat{\mathbf{M}}^{-1} \left( \hat{\mathbf{C}}\dot{\hat{\mathbf{q}}} + \hat{\mathbf{K}}\hat{\mathbf{q}} + \hat{\mathbf{g}} - \hat{\boldsymbol{\tau}} - \hat{\boldsymbol{\tau}}_f - \hat{\boldsymbol{\tau}}_{\text{ext}} \right) \end{pmatrix} \quad (6)$$

### 3 Simulation directe

#### 3.1 Trajectoire périodique

On prend l'action articulaire  $\boldsymbol{\tau} = \bar{\boldsymbol{\tau}}$ , issue d'une analyse dynamique inverse rigide basée sur une trajectoire périodique

$$\bar{q}_i(t) = q_{0i} + \sum_{i=1}^2 \sum_{j=1}^{n_h} C_{ij} \cos\left(2\pi j \frac{t}{T}\right) + S_{ij} \sin\left(2\pi j \frac{t}{T}\right) \quad (7)$$

$$\bar{\boldsymbol{\tau}} = \mathbf{M}(\bar{\mathbf{q}})\ddot{\bar{\mathbf{q}}} + \mathbf{C}(\bar{\mathbf{q}}, \dot{\bar{\mathbf{q}}})\dot{\bar{\mathbf{q}}} + \mathbf{g}(\bar{\mathbf{q}}) - \boldsymbol{\tau}_f \quad (8)$$

Sur la base de l'équation (2), puis de (6), réaliser une simulation dynamique directe avec l'action  $\boldsymbol{\tau} = \bar{\boldsymbol{\tau}}$  et les condition initiales  $\mathbf{q}(0) = \bar{\mathbf{q}}(0)$ ,  $\dot{\mathbf{q}}(0) = \dot{\bar{\mathbf{q}}}(0)$ ,  $\mathbf{p}(0) = \mathbf{0}$ ,  $\dot{\mathbf{p}}(0) = \mathbf{0}$ .

#### 3.2 Réponse impulsionnelle

En considérant une configuration particulière  $\bar{\mathbf{p}}$  du robot, on suppose que l'action de la motorisation s'apparente à une raideur égale à celle des transmissions

$$\boldsymbol{\tau} = -\mathbf{K}\mathbf{p} \quad (9)$$

Sur la base de l'équation (6), réaliser une simulation dynamique directe avec les conditions initiales  $\mathbf{q}(0) = \mathbf{p}(0) = \bar{\mathbf{q}}_0$ ,  $\dot{\mathbf{p}}(0) = \mathbf{0}$ ,  $\dot{\mathbf{q}}(0) = [\omega_0, \mathbf{0}]^T$ .

#### 3.3 Analyse modale

Réaliser une analyse modale via le problème aux valeurs propres de la matrice

$$\hat{\mathbf{D}} = \begin{bmatrix} \mathbf{0} & \mathbf{I} \\ -\hat{\mathbf{M}}^{-1}\tilde{\mathbf{K}} & -\hat{\mathbf{M}}^{-1}\tilde{\mathbf{C}} \end{bmatrix} \quad (10)$$

Trouver les fréquences et les déformées modales, comparer à l'analyse fréquentielle des réponses impulsionnelles.

## Rendu

Le livrable est un fichier PDF individuel remis sur SAVOIR à la fin de la séance.